

秋田高専 正員 対馬 雅己

1.はじめに

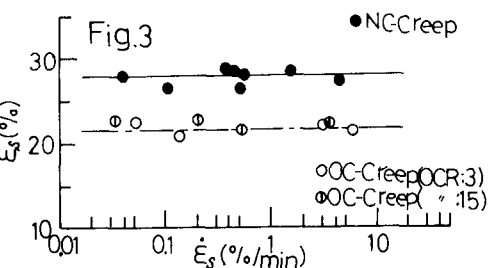
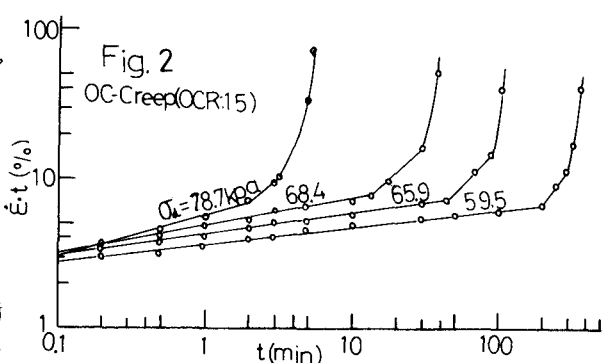
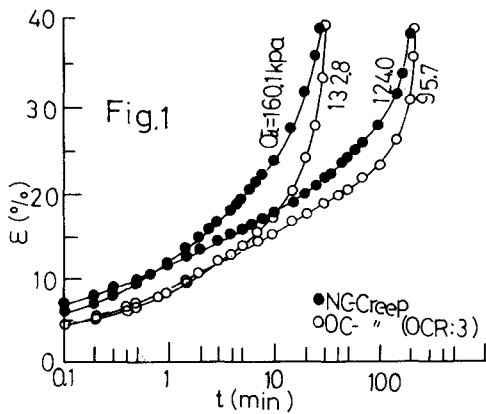
泥炭性有機質土からなる地盤は、土質工学上軟弱地盤の最も典型的な例としてよく知られており、その地盤上に種々の構造物や盛土および掘削などを急速に行う場合、地盤内に非排水状態でクリープ変形が生じ、さらに上載荷重がある上限値以上に達するとその変形量は、時間とともに増大しつゝにはクリープ破壊が起こる。ここでは、泥炭性有機質土のクリープ破壊現象を実験的に検討し、さらにクリープ破壊における応力履歴の影響を調べることによって、その特性を明らかにするものである。

2. 試料および実験方法

実験に用いた試料は、秋田県雄物川流域から採取したもので、日本統一土質分類法による黒泥(Mk)である。この試料の物理的性質は、L.L.: 410%, P.L.: 190%, G_s: 1.81, L.I.: 57%である。試料を液性限界以上の高含水比で十分練り返したものと、気泡が混入しないように十分注意しながら圧密容器に入れ所定の圧力を予圧密した。供試体は予圧密終了後、直径 35.0 mm, 高さ 76.0 mm の円柱形に成形し、圧密を促進するためにドレーンペーパーを用いた。試験は、60, 90, 120, 150 kPa の 4 種類の側圧で等方圧密および 60, 120, 150, 180 kPa の側圧で等方圧密した後、各側圧についてそれぞれ、15 の過圧密比で等方的に膨張した供試体について、それぞれ非排水で行い、ベロフラム・シリンドラーによつて一定の軸差応力を載荷した。クリープ試験中、供試体の断面変化による軸差応力の補正を行い、また供試体の端面摩擦を軽減するために、シリコングリースを塗つたドーナツ型のゴム膜を使用した。なおすべての供試体について、100 kPa のバックフロッシャーを圧密過程から適用した。

3. 結果および考察

図-1 は、泥炭性有機質土の正規圧密(NC-Creep)および過圧密(OC-Creep)供試体のクリープ挙動を示している。これらのクリープ曲線の圧密圧力および先行圧密圧力(OCR:3)は、それぞれ 150 kPa で行い、ほぼ同一の定常クリープ速度を示す NC および OC-Creep についてプロットしたものである。OC-Creep は、NC-Creep に比べてその定常クリープおよび加速クリープの開始点が、それより短い時刻で生じ破壊に達していることがわかる。このように泥炭性有機質土は、軽く過圧密された状態においても、応力履歴の影響を受けそのクリープ曲線の挙動が異なるようである。過圧密比 15 につき、ひずみ速度とその時の時間との積を $\dot{\epsilon}_s$ と経過時間 t と



の関係を両対数で整理したのが図-2である。過圧密状態においても、遷移クリープ領域は軸差応力が大きいほど勾配の大きい直線関係、定常クリープ領域は45°の勾配の直線関係になつてゐる。また、定常ひずみ速度 $\dot{\epsilon}_s$ の時のひずみ ϵ_s と、なむち $\dot{\epsilon}_s$ たゞは、応力レベルに関係なくほぼ等しい値となるようである。図-3は、正規圧密および過圧密状態(OCR:3, 15)の供試体について、定常クリープ速度 $\dot{\epsilon}_s$ とその時のひずみ ϵ_s との関係を示したものである。NC-Creep, OC-Creepにおける ϵ_s は、 $\dot{\epsilon}_s$ にはほとんど依存せず、ほぼ一定となることがわかる。またOC-Creepの ϵ_s は、過圧密比の大小によって明確な差は認められないが、NC-Creepのそれより小さく、応力履歴によって異なるものと考えられる。一方、定常クリープ領域におけるひずみ量 $\epsilon_a - \epsilon_s$ と破壊時間 t_f との関係についてプロットすると図-4のようになる。ひずみ量 $\epsilon_a - \epsilon_s$ は、応力レベルや応力履歴に関係なくほぼ一定値となることが示される。泥炭性有機質土のクリープ破壊現象においては、定常クリープおよび加速クリープの開始点について明確に応力履歴の影響を受けるが、 ϵ_s と ϵ_a の差すなむち定常クリープ領域におけるひずみ量は、応力レベルや応力履歴にはほとんど依存しないことが明らかとなる。齊藤・上沢¹⁾は、斜面崩壊予知の観点から定常クリープ速度 $\dot{\epsilon}_s$ とクリープ破壊時間 t_f との間には、両対数紙上で線形関係が存在することを報告している。そこで泥炭性有機質土について、NC-CreepおよびOC-Creepの $\log_{10}\dot{\epsilon}_s$ と $\log_{10}t_f$ との関係を示せば図-5のようになる。同図からわかるように、両者のデータともほぼ45°の勾配の直線関係が得られこれより $\dot{\epsilon}_s$ と t_f との間には、粘性土と同様、近似的に次の逆比例関係が成立する。 $\dot{\epsilon}_s t_f = C$ (C は定数) ---(1)

(1)式から得られる定数 C は、正規圧密および過圧密状態に關係なくほぼ一定の値となることが認められ、また応力履歴の度合によつても変化しないようである。さて、クリープ過程ではひずみ速度は、時間とともに変化するが、それを定常クリープ速度で代表させ、ほぼ同一のひずみ速度(定常クリープ速度)によるせん断抵抗角について検討してみる。図-6は、非排水クリープ試験の約0.1%/minのひずみ速度(定常クリープ速度)を示す正規圧密供試体について、定常クリープの開始点における有効応力を用い、 $(\sigma_1 - \sigma_3)/2$ と $(\sigma_1 + \sigma_3)/2$ の関係からせん断抵抗角 φ'_c を求めたものである。同図には、定ひずみせん断試験(ひずみ速度0.1%/min)から得られせん断抵抗角 φ' についても併示している。この図から、非排水クリープ試験および定ひずみせん断試験から得られせん断抵抗角は、それぞれ $\varphi'_c = 44.4^\circ$ (加速クリープの開始点においても φ'_c はほとんど変化しない)、 $\varphi' = 51.1^\circ$ となるようである。このように正規圧密された泥炭性有機質土について、非排水クリープ試験によるせん断抵抗角は、定ひずみせん断試験(軸対称三輪圧縮)から得られるその値の約87%程度しか發揮されないことがわかる。

- (参考文献) 1) 齊藤・上沢(1960): 土のクリープ破壊に関する実験研究、鉄道技研報告 128号
2) 村山・柴田(1956): 粘性土のレオロジー特性について、土木学会論文集第40号

